

## Kapitel 2

# Selbstorganisierende Datenstrukturen

### 2.1 Lineare Listen

In diesem Abschnitt werden wir lineare Listen zur Lösung des Wörterbuchproblems verwenden (Abbildung 2.1). Dabei gehen wir davon aus, daß jedes Element höchstens einmal vorkommt.

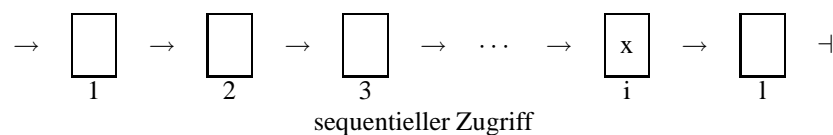


Abbildung 2.1: Modell: Lineare Liste

#### Statisch:

**ACCESS(x):** Kosten:

$i$  , falls  $x$  an Position  $i$  steht  
 $l + 1$  , falls  $x$  nicht in der Liste vorkommt

Man darf die Liste umorganisieren (um sie für künftige Anfragen effizienter zu machen):

#### erlaubt:

1. Nach erfolgreichem Zugriff auf  $x$  darf  $x$  um eine beliebige Anzahl von Positionen nach vorn gebracht werden.

Kosten = 0. (Argument: schlimmstenfalls muss man einfach nochmal den Weg zurück nach vorn laufen, den man eben von vorne zum  $x$  hin gelaufen ist  $\Rightarrow$  Faktor 2).

**„Kostenfreie Vertauschung“.**

2. Man darf jederzeit und überall zwei benachbarte Listenelemente vertauschen.

Kosten = 1. (Die Kosten, um erstmal zu den zu vertauschenden Elementen zu kommen, werden nicht gezählt).

**„Kostenpflichtige Vertauschungen“.**

**Anmerkung:** Die Kosten für diese Tauschoperationen sind relativ willkürlich definiert.

Unsere Algorithmen werden (2) nicht anwenden, aber der optimale Algorithmus, also unser Gegner, darf es.

**Dynamisch:**

Zusätzliche Operationen:

**INSERT(x):** Kosten  $l + 1$  (eingefügt wird hinten wegen Test auf doppeltes Vorkommen  $\Rightarrow$  ganze Liste wird einmal durchlaufen).

**DELETE(x):** Kosten  $i$  bzw.  $l + 1$  (wie bei ACCESS(x)).

**Situation:**

Liste der Länge  $l$  gegeben. Es kommt eine Folge  $\sigma$  von  $n$  Zugriffen auf die Liste.

**OPT** kennt  $\sigma$  im Voraus und kann die Liste entsprechend organisieren.

Wie? NP-vollständig (Ambühl, 2000).

**Bemerkung:** Es gibt Fälle, in denen OPT kostenpflichtige Vertauschungen benötigt, um optimal zu bleiben (Übungsaufgabe).

**ALG** erhält jeweils nur die nächste Anforderung in der Folge  $\sigma = \sigma_1\sigma_2 \dots \sigma_i\sigma_{i+1}$  und muß sofort reagieren.

**Mögliche Kandidaten für ALG:**

**TRANS** (Transpose): Bringe  $x$  nach erfolgreichem ACCESS(x) (oder INSERT(x)) um **eine** Position weiter nach vorn.

(vorsichtig)

**MTF** (Move to front): Bringe  $x$  nach erfolgreichem ACCESS(x) (oder INSERT(x)) an den Listenanfang.

(energisch)

**FC** (Frequency Count): Führt Buch über die erfolgreichen Zugriffe; ordnet Liste entsprechend an.

(gewissenhaft, aber aufwendig zu implementieren)

**Theorem 2.1.1 (Sleator, Tarjan '85: erstes Paper zu Online-Analyse):**

MTF ist  $\underbrace{\left(2 - \frac{1}{l+1}\right)}_{\leq 1}$  - kompetitiv bei maximaler Listenlänge  $l$ .

**Beweis (Theorem 2.1.1):** Unser Beweis benutzt zwei Techniken:

- Betrachtung der amortisierten Kosten
- Darstellung der amortisierten Kosten durch Potentialfunktion

**Idee:** Man investiert am Anfang etwas, was sich später auszahlt.

MTF und OPT starten mit derselben Liste der Länge  $l$ , müssen dieselbe Folge  $\sigma = \sigma_1\sigma_2 \dots$  bedienen, aber auf unterschiedliche Art.

Sei  $\text{LOPT}_i$  die Liste von OPT nach Bearbeitung von  $\sigma_i$

Sei  $\text{LMTF}_i$  die Liste von MTF nach Bearbeitung von  $\sigma_i$

**Def:** Amortisierte Kosten von MTF bei Bearbeitung von  $\sigma_i$ :

$$a_i := t_i + \phi_i - \phi_{i-1},$$

wobei  $t_i$  = „echte“ Kosten (= reine Suchkosten) von MTF bei Bearbeitung von  $\sigma_i$ .

Potentialfunktion  $\phi_i$ : Mißt die „Ähnlichkeit“ von  $\text{LOPT}_i$  und  $\text{LMTF}_i$ , genauer:

$\phi_i$  = Anzahl  $\text{Inv}(\text{LMTF}_i, \text{LOPT}_i)$  der Inversionen der beiden Listen, d.h.:

$$\text{Inv}(\text{LMTF}_i, \text{LOPT}_i) := \{(x, y), x \text{ steht in } \text{LMTF}_i \text{ vor } y, \text{ in } \text{LOPT}_i \text{ hinter } y\}$$

**Beispiel:**

								Eintrag	Anzahl Inversionen
	LMTF <sub>i</sub> :	3	15	8	4	7	1	3	5
	LOPT <sub>i</sub> :	8	1	4	7	15	3	15	4
								4	1
								7	1

$\Rightarrow$

$\Rightarrow$  insgesamt 11 Inversionen

$s_i$  := reine Suchkosten von OPT bei Bearbeitung von  $\sigma_i$ .

$P_i$  := Anzahl kostenpflichtiger Vertauschungen von OPT bei Bearbeitung von  $\sigma_i$ .

$F_i$  := Anzahl kostenfreier Vertauschungen von OPT bei Bearbeitung von  $\sigma_i$ .

Um weiterzukommen, benötigen wir folgendes

**Lemma 2.1.2:**

$$a_i \leq (2s_i - 1) + P_i - F_i$$

**Beweis (Lemma 2.1.2):**

**Methode:**

$$a_i = \underbrace{t_i}_{=k} + \overbrace{\text{Inv}(\text{LMTF}_i, \text{LOPT}_{i-1}) - \text{Inv}(\text{LMTF}_{i-1}, \text{LOPT}_{i-1})}^{\leq 2j-1=2s_i-1} + \underbrace{\text{Inv}(\text{LMTF}_i, \text{LOPT}_i) - \text{Inv}(\text{LMTF}_i, \text{LOPT}_{i-1})}_{\leq P_i - F_i}$$

**Fall 1:**  $\sigma_i = \text{ACCESS}(x_j)$ , erfolgreich.

**Bemerkung:** Daß  $x_j$  an Position  $j$  steht, stellt keine Einschränkung dar.

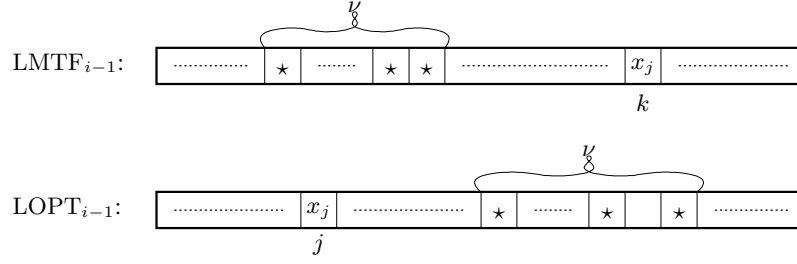
Sei  $\nu$  := Anzahl der Elemente, die in  $\text{LMTF}_{i-1}$  **vor**  $x_j$  stehen und in  $\text{LOPT}_{i-1}$  **dahinter**. (Abbildung 2.2)

$\Rightarrow$  Von den  $k-1$  Elementen, die in  $\text{LMTF}_{i-1}$  vor  $x_j$  stehen, stehen auch in  $\text{LOPT}_{i-1}$   $k-1-\nu$  vor  $x_j$ .

$\Rightarrow k-1-\nu \leq j-1$

$\Rightarrow \boxed{k-\nu \leq j}$  (= Suchkosten von OPT)

**Vorstellung:** Erst bearbeitet MTF die Anforderung  $\sigma_i$ , dann OPT.

Abbildung 2.2: Situation vor Ausführung von  $\sigma_i$ :**MTF:**

- Suchkosten  $t_i = k$
- Dadurch, daß  $x_j$  ganz nach vorn kommt:  
 $\nu$  alte Inversionen verschwinden  
 $k - 1 - \nu$  neue Inversionen entstehen

$$\begin{aligned} \Rightarrow \#Inv(LMTF_i, LOPT_{i-1}) - \#Inv(LMTF_{i-1}, LOPT_{i-1}) &= k - 1 - 2\nu \\ \Rightarrow t_i + k - 1 - 2\nu &= 2(k - \nu) - 1 \leq 2j - 1 \quad \text{Zwischenbilanz} \end{aligned}$$

**OPT:**

- Suchkosten  $s_i = j$
- Jede freie Vertauschung durch OPT beseitigt eine Inversion (da  $x_j$  in  $LMTF_i$  ganz vorn steht).
- Jede kostenpflichtige Vertauschung durch OPT schafft  $\leq 1$  neue Inversion.

$$\Rightarrow \#Inv(LMTF_i, LOPT_i) \leq \#Inv(LMTF_i, LOPT_{i-1}) + P_i - F_i$$

$$\begin{aligned} \} \Rightarrow a_i &= t_i + \phi_i - \phi_{i-1} \\ &= t_i + \#Inv(LMTF_i, LOPT_i) - \#Inv(LMTF_i, LOPT_{i-1}) \\ &\quad + \#Inv(LMTF_i, LOPT_{i-1}) - \#Inv(LMTF_{i-1}, LOPT_{i-1}) \\ &\leq 2j - 1 + P_i - F_i \\ &= 2s_i - 1 + P_i - F_i \end{aligned}$$

**Fall 2:**  $\sigma_i = ACCESS(x_j)$  nicht erfolgreich

$\Rightarrow$  weder MTF noch OPT machen freie Vertauschungen

Müssen zeigen:

$$a_i = t_i + \underbrace{\phi_i - \phi_{i-1}}_{\leq P_i} \leq \underbrace{2s_i - 1}_{=2l+1} + \underbrace{P_i - F_i}_{=0} \checkmark$$

**Fall 3:**  $\sigma_i = DELETE(x_j)$  erfolgreich

$\Rightarrow$  keine freien Vertauschungen

$$\underbrace{t_i}_{=k} + \underbrace{Inv(LMTF_i, LOPT_i - 1) - Inv(LMTF_{i-1}, LOPT_{i-1})}_{=\nu} \quad (= j \leq 2j - 1 \stackrel{(j \geq 1)}{\leq} 2s_i - 1, \text{ Rest analog})$$

**Fall 4:**  $\sigma_i = DELETE(x_j)$  erfolglos: wie erfolgloses  $ACCESS(x_j)$

**Fall 5:**  $\sigma_i = INSERT(x_j)$ : wie  $ACCESS(x_j)$  mit  $k = j = l + 1, \nu = 0$  □

**Theorem 2.1.3:** Sei  $\sigma$  eine Folge von  $n$  Zugriffen ( $ACCESS$ ,  $INSERT$  oder  $DELETE$ ). Dann gilt bei gleicher Anfangsliste:

$$MTF(\sigma) \leq 2 \cdot OPT_s(\sigma) + P - F - n$$

mit  $OPT_s(\sigma)$  = reine Suchkosten von  $OPT$

$P$  = kostenpflichtige Vertauschungen von  $OPT$

$F$  = kostenfreie Vertauschungen von  $OPT$ .

**Beweis (Theorem 2.1.3):**

$$\begin{aligned} MTF(\sigma) &= \underbrace{\sum_{i=1}^n t_i}_{\text{wollen}} \\ &\leq \sum_{i=1}^n t_i + \underbrace{\phi_n}_{\geq 0} - \underbrace{\phi_0}_{=0} \\ &= \sum_{i=1}^n (t_i + \phi_i - \phi_{i-1}) \\ &= \underbrace{\sum_{i=1}^n a_i}_{\text{können}} \\ &\stackrel{\text{Lemma 2.1.2}}{\leq} \sum_{i=1}^n ((2s_i - 1) + P_i - F_i) \\ &= 2 \cdot OPT_s(\sigma) + P - F - n \end{aligned}$$

□

**Damit: Weiter im Beweis von Theorem 2.1.1:**

$$MTF(\sigma) \stackrel{\text{Thm. 2.1.3}}{\leq} 2 \cdot OPT_s(\sigma) + P - F - n$$

mit  $l$  = maximale Listenlänge,

$2 \cdot OPT_s(\sigma) + P \leq 2 \cdot OPT(\sigma)$  wegen  $OPT(\sigma) = OPT_s(\sigma) + P$ .

$$\Rightarrow OPT(\sigma) \leq n \cdot (l + 1)$$

(denn  $OPT$  ist sicher besser als der bequeme Algorithmus, der bei jeder Operation bis zum Listenende läuft.)

$$\begin{aligned} \Rightarrow n &\geq \frac{OPT(\sigma)}{l + 1} \\ \Rightarrow MTF(\sigma) &\leq \left(2 - \frac{1}{l + 1}\right) OPT(\sigma) \end{aligned}$$

□

**Fragen:**

- Ist das gut?
- Ist MTF überreagierend?
- Ist TRANS besser?

**Proposition 2.1.4:** TRANS ist **nicht** kompetitiv (falls die Listenlänge beliebig ist).

**Beweis (Proposition 2.1.4):** Sei eine Liste mit  $l$  Elementen gegeben.

Der böse Gegenspieler (adversary) ärgert TRANS und fordert stets ACCESS-Operationen für das letzte Element in der Liste LTRANS

⇒ TRANS vertauscht stets die beiden letzten Listenelemente: Abbildung 2.3.

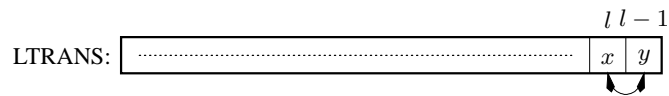


Abbildung 2.3: Liste von TRANS (LTRANS)

⇒  $\text{TRANS}(\sigma) = 2 \cdot n \cdot l$  bei einer Folge von  $2n$  Zugriffen.

Der Gegenspieler OPT bringt zunächst  $x, y$  nach vorn: Abbildung 2.4.

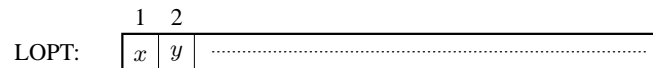


Abbildung 2.4: Liste von OPT (LOPT)

Kosten:  $2 \cdot (l - 2)$

Danach hat OPT Kosten 3 für je zwei Zugriffe (auf  $x, y$ ).

$$\Rightarrow \frac{\text{TRANS}(\sigma)}{\text{OPT}(\sigma)} = \frac{2nl}{2(l-2) + 3n} \xrightarrow{n \rightarrow \infty} \frac{2}{3} \cdot l$$

Für großes  $l$  ist TRANS also beliebig schlecht. □

**Frage:** Gibt es andere Algorithmen, die besser sind als MTF?

**Theorem 2.1.5:** Jeder deterministische Online-Algorithmus für das statische (nur ACCESS) Listenproblem hat einen kompetitiven Faktor  $\geq 2 - \frac{2}{l+1}$

**Beweis (Theorem 2.1.5):** Sei ALG ein solcher Algorithmus.

Wenn der Gegenspieler  $n$  mal das letzte Element verlangt:

$$\text{ALG}(\sigma) \geq n \cdot l$$

Frage: Wie gut kann OPT die Folge  $\sigma$  bedienen?

Trick: Sei  $\pi$  eine beliebige Permutation der  $l$  Elemente.

Definiere Algorithmus  $A_\pi$  wie folgt:

- Stelle zunächst Permutation  $\pi$  her: Kosten  $b \cdot l^2$ .
- Beantworte dann alle ACCESS-Operationen **ohne** weitere Umstrukturierung.

Betrachte eine einzelne Anforderung  $\text{ACCESS}(x)$ :

Es gibt  $(l-1)!$  Permutationen  $\pi$ , bei denen  $x$  an Stelle  $i$  steht.

$$\begin{aligned} \sum_i A_\pi(\text{ACCESS}(x)) &= \sum_{i=1}^l i \cdot (l-1)! \\ &= (l-1)! \frac{l(l+1)}{2} \\ \Rightarrow \sum_{\pi} A_\pi(\sigma) &= n \cdot (l-1)! \cdot \frac{l(l+1)}{2} + l! \cdot bl^2 \\ \text{Mittelwert: } \frac{1}{l!} \sum_{\pi} A_\pi(\sigma) &= \frac{n(l+1)}{2} + bl^2 \end{aligned}$$

**Trick:** Es muß mindestens ein  $\pi_0$  geben mit  $A_{\pi_0}(\sigma) \leq \text{Mittelwert}$ .

$$\begin{aligned} \Rightarrow \frac{\text{ALG}(\sigma)}{\text{OPT}(\sigma)} &\geq \frac{nl}{\text{OPT}(\sigma)} \\ &\geq \frac{nl}{A_{\pi_0}(\sigma)} \\ &\geq \frac{nl}{\frac{n(l+1)}{2} + bl^2} \\ &\xrightarrow{n \rightarrow \infty} \frac{2l}{l+1} \\ &= 2 \frac{2}{l+1} \end{aligned}$$

□

### Rekapitulation:

- Selbst im statischen Fall ist die Berechnung von OPT NP-vollständig (ohne Beweis).
- *MoveToFront* ist 2-kompetitiv in dynamischen selbstorganisierenden Listen.
- Eine bessere *deterministische* Online-Lösung gibt es nicht.
- Auch in der Offline-Situation ist keine bessere Approximation von OPT (in polynomieller Laufzeit) als 2 bekannt.
- *Transpose* ist nicht kompetitiv.

**Frage:** Hilft Randomisierung? Folgendes Modell:

**Online-Algorithmus (“Spieler”):** Trifft zur Laufzeit zufällige Entscheidungen nach einer bestimmten Wahrscheinlichkeitsverteilung (siehe Abbildung 2.5).

**Vergeßlicher Gegenspieler (oblivious adversary):** Trifft seine Entscheidungen vor dem Start

- in Kenntnis des Algorithmus inklusive der Wahrscheinlichkeitsverteilungen
- ohne Kenntnis der konkreten Entscheidungen des Spielers

**Abrechnung:** Zu erwartende Kosten des Online-Algorithmus gegen Kosten einer optimalen Offline-Lösung.

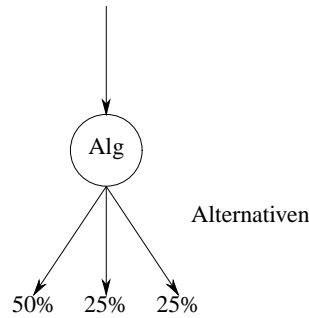


Abbildung 2.5: Zufallsgesteuerte Entscheidung

**Definition 2.1.1:** Eine randomisierter Online-Algorithmus ALG heißt  $c$ -kompetitiv gegen vergeßliche Gegenspieler, falls gilt:  $\exists A : [\forall P \in \Pi : \underbrace{[E(\text{ALG}(P))]}_{\text{Erwartungswert}} \leq c \cdot \text{OPT}(P) + A]$

**Jetzt:** Dynamische Listenorganisation mit randomisiertem Algorithmus BIT.

**Statischer Fall:** Nur Zugriffe  $\text{ACCESS}(x)$ :

- Rate anfangs für jedes Listenelement  $x$  ein Zufallsbit  $b(x)$ . i.i.d, d.h.:
  - gleichwahrscheinlich 0 oder 1
  - unabhängig
- Zur Laufzeit (deterministisch) bei  $\text{ACCESS}(x)$ :
  - komplementiere  $b(x)$  (d.h.:  $b(x) := 1 - b(x)$ )
  - falls  $b(x)$  jetzt = 1: bringe  $x$  an Listenanfang (Kostenfreie Vertauschungen; es bleibt dabei  $b(x) = 1$ )

**Theorem 2.1.6 (Reingold, Westbrook '90):** Für jede Zugriffsfolge  $\sigma$  der Länge  $n$  gilt:

$$E(\text{BIT}(\sigma)) \leq \underbrace{\frac{7}{4}}_{<2} \cdot \text{OPT}(\sigma) - \frac{3}{4}n$$

**Beweis (Theorem 2.1.6):** Sei  $\sigma$  eine feste Folge von  $n$   $\text{ACCESS}$ -Operationen. Während BIT die Folge  $\sigma$  bearbeitet, sind auch die aktuellen Werte  $b(x)$  i.i.d.

**Betrachte zwei Typen von Events:**

1. OPT führt kostenpflichtige Vertauschung aus
2. BIT und OPT beantworten  $\text{ACCESS}(y)$  mit kostenfreien Vertauschungen

**Wie vorher:** Potentialfunktion  $\phi_i$ , mißt das Verhältnis der Listen  $\text{LBIT}_i$ ,  $\text{LOPT}_i$  nach Bearbeitung des  $i$ -ten Events.



**Intuitiv klar:**  $\phi$  muß auch die Bits  $b(x)$  berücksichtigen!

**Definition 2.1.2:**

1. Sei  $(x, y)$  eine Inversion von  $\text{LBIT}_i$  bzgl.  $\text{LOPT}_i$  (d.h.: in  $\text{LBIT}_i$  steht  $x$  vor  $y$ , aber in  $\text{LOPT}_i$  steht  $x$  hinter  $y$ ). Dann heißt

$$w(x, y) := b(y) + 1 = \# \text{ACCESS}(y), \text{ bevor } y \text{ nach vorn kommt}$$

das Gewicht von  $(x, y)$ . Das Gewicht hängt nur von  $y$  ab!

- 2.

$$\phi := \sum_{(x,y) \in \text{Inv}(\text{LBIT}, \text{LOPT})} w(x, y)$$

- 3.

$$a_i := \text{BIT}_i + \phi_i - \phi_{i-1}$$

mit  $\text{BIT}_i$  = reale Kosten von BIT

**Trick:** Berechnung der amortisierten Kosten von BIT bei der  $i$ -ten Operation ACCESS

**Damit (wie im deterministischen Fall):**

$$\text{BIT}(\sigma) = \sum_i \text{BIT}_i \underbrace{=}_3 \sum_i a_i + \underbrace{\phi_0}_{=0, \text{ da } \text{LBIT}_0 = \text{LOPT}_0} - \underbrace{\phi_{\text{last}}}_{\geq 0} \leq \sum_i a_i \quad (2.1)$$

**Zu zeigen:** Bei Event vom Typ

1.  $E(a_i) \leq \frac{7}{4} \text{OPT}_i$
2.  $E(a_i) \leq \frac{7}{4} \text{OPT}_i - \frac{3}{4}$  ( $n$  mal)

$\Rightarrow$  Theorem.

**Event vom Typ 1:** schafft  $\leq 1$  neue Inversion ( $= (x, y)$ ); deren Wert  $(1 + b(y))$ : 1 oder 2, mit derselben Wahrscheinlichkeit.  $\Rightarrow$

$$E(a_i) = E(\underbrace{\text{BIT}_i}_{=0}) + \underbrace{E(\phi_i - \phi_{i-1})}_{\frac{1}{2}(1) + \frac{1}{2}(2)} \leq \frac{3}{2} < \frac{7}{4} = \frac{7}{4} \cdot 1 = \frac{7}{4} \cdot \text{OPT}_i$$

mit  $\text{OPT}_i$  = Kosten von OPT bei Bearbeitung des Events  $i$

**Event vom Typ 2:** Situation wie in Abbildung 2.6. Sei

$$\begin{aligned} I &:= \#x : x \text{ steht in LBIT vor } y \text{ und in LOPT hinter } y \\ &= \#x : (x, y) \in \text{Inv}(\text{LBIT}, \text{LOPT}) \end{aligned}$$

Wie früher: Von den  $m - 1$  Vorgängern von  $y$  in LBIT müssen  $m - 1 - I$  auch Vorgänger von  $y$  in LOPT sein  $\Rightarrow m - 1 - I \leq k - 1 \Rightarrow$

$$\text{BIT}_i = m \leq k + I \quad (2.2)$$

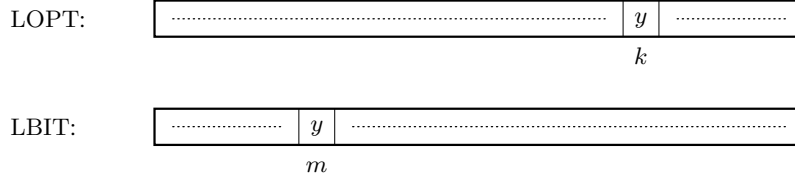


Abbildung 2.6: Event vom Typ 2

**Trick:** Schreibe  $\phi_i - \phi_{i-1} = A + B + C$ , mit

- $A$  = Gesamtgewicht aller neuen Inversionen
- $B$  = Gesamtgewicht der entfernten alten Inversionen  $\leq 0$
- $C$  = Gewichtsänderung der überlebenden alten Inversionen

Betrachte zunächst  $B$  und  $C$ : Falls  $b(y) = 1 \Rightarrow$  BIT bewegt  $y$  nicht,  $b(y) := 0$ . OPT kann  $y$  weiter nach vorn bringen und dadurch Inversionen  $(y, z)$  entfernen  $\Rightarrow B \leq 0$ .

- Falls überlebende Inversion ihr Gewicht verändert  $\Rightarrow$  sie enthält  $y$  an zweiter Stelle, hat also die Gestalt  $(x, y) \Rightarrow$  Gewicht wird um 1 kleiner  $\Rightarrow C = -I$ .
- Falls  $b(y) = 0$ : BIT bringt  $y$  an Listenanfang,  $b(y) := 1 \Rightarrow$  alle alten Inversionen  $(x, y)$  verschwinden, hatten vorher Gewicht 1  $\Rightarrow B = -I$ ,  $C = 0$ , denn keine Inversion, deren Gewicht sich geändert hätte, kann überleben.

In den oben aufgeführten Fällen gilt stets

$$B + C \leq -I \quad (2.3)$$

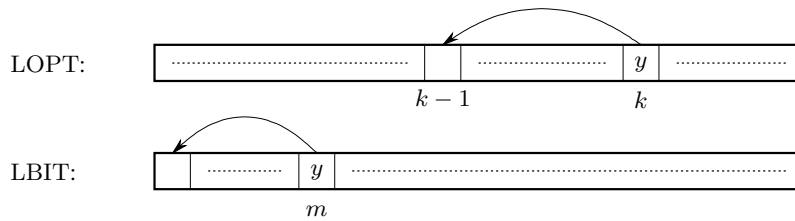
$$\Rightarrow E(a_i) = E(\text{BIT}_i + A + B + C) \leq E(A) + E(\underbrace{k + I}_{\text{nach (2.2)}} - \underbrace{I}_{\text{nach (2.3)}}) = \underbrace{E(A)}_{?} + k \quad (2.4)$$

Betrachte jetzt  $E(A)$  (Siehe auch Abbildung 2.7): OPT bringt  $y$  (kostenfrei) an Stelle  $k' \leq k$ . Zwei Arten neuer Inversionen:

$b(y) = 0$ :  $y$  wird von BIT am Listenanfang gebracht  $\Rightarrow$  genau die  $(y, x_1), \dots, (y, x_{k'-1})$  sind neu, mit Gewicht

$$(y, x_j) = \underbrace{b(x_j)}_{0 \text{ oder } 1} + 1 \quad (2.5)$$

$b(y) = 1$ :  $y$  von BIT nicht verschoben  $\Rightarrow$  höchstens  $(x_{k'+1}, y), \dots, (x_{k-1}, y)$  sind neu und haben Gewicht 1.

Abbildung 2.7: Situation: OPT bringt  $y$  weiter nach vorne

Beide Fälle sind gleichwahrscheinlich  $\Rightarrow$

$$E(A) \leq \frac{1}{2} \left( \sum_{j=1}^{k'-1} \frac{1}{2} (1+2) \right) + \frac{1}{2} \left( \sum_{j=k'+1}^{k-1} 1 \right) \leq \frac{3}{4} (k-1) \quad (2.6)$$

$\Rightarrow$

$$E(a_i) \underbrace{\leq}_{\text{nach (2.4)}} k + E(A) \leq \frac{7}{4}k - \frac{3}{4} = \frac{7}{4}\text{OPT}_i - \frac{3}{4} \quad (2.7)$$

□

### Rekapitulation:

- Move To Front: deterministisch, 2-kompetitiv für dynamische Listen.
- Besser geht es nicht deterministisch.
- MTF zu BIT modifizieren: randomisiert,  $\frac{7}{4}$ -kompetitiv.
- Man kann auf  $\frac{8}{5}$  herunterkommen mit  $\frac{4}{5} \cdot \text{BIT} + \frac{1}{5} \cdot \text{TIMESTAMP}$   
(S. Albers '95, determ. 2-kompetitiv;  
nach  $\text{ACCESS}(x)$ :  
bringe  $x$  vor das vorderste  $y$ , das nach dem letzten Zugriff auf  $x$  erst einmal dran war  
falls solch ein  $y$  existiert. Sonst: lasse  $x$  stehen.)
- Geht es noch besser?  
Offen!

## 2.2 Selbstorganisierende Bäume

### Idee 1:

Statt Move To Front (nach  $\text{ACCESS}(x)$ ): Move To Root! (Abbildung 2.8). Wir müssen dabei die Such-

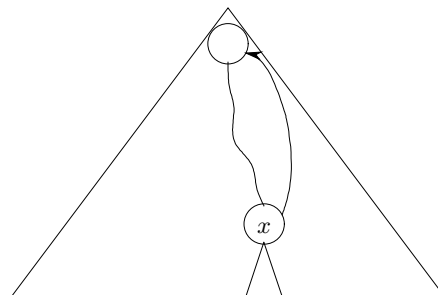


Abbildung 2.8: Move To Root

baumstruktur erhalten! Wie?

### Idee 2:

Durch Rotation: Siehe Abbildung 2.9

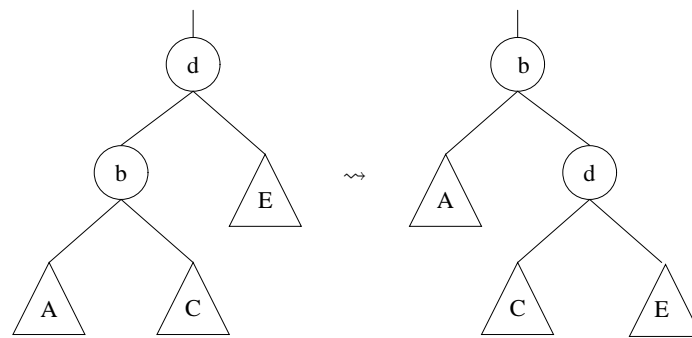


Abbildung 2.9: Rotation

**Idee 3:**

Wiederhole Rotation von Vater, bis  $x$  oben steht.

**Kostenmodell:**

(Wie bei den Listen)

- Nach  $\text{ACCESS}(x)$  sind Aufwärtsrotationen von  $x$  kostenfrei.
- Ansonsten kostet jede Rotation 1 Einheit.

**Theorem 2.2.1 (Allen, Munro '78):** Sei  $T$  Suchbaum mit Schlüsselmenge  $S = \{1, 2, \dots, 2m\}$ . Dann sind bei der Zugriffsfolge  $(\text{ACCESS}(1), \text{ACCESS}(2), \dots, \text{ACCESS}(m))^2$  die mittleren Kosten pro Zugriff in  $\Omega(m)$  bei Verwendung von MTR. (Dagegen wäre beim AVL-Baum sogar der Worst Case pro Zugriff in  $O(\log m)$ .)

**Beweis (Theorem 2.2.1):** entfällt. Hier nur Skizze:

Egal, mit welchem  $T$  man startet: Nach  $\underbrace{\text{ACCESS}(1), \dots, \text{ACCESS}(m)}_{\text{„ganzer Durchlauf“}}, \text{ACCESS}(1), \dots, \text{ACCESS}(i -$

1) hat der Baum die Gestalt wie in Abbildung 2.10  $\Rightarrow \text{ACCESS}(i)$  kostet  $m - i + 1$  Einheiten. Wie kommt das? Grund: Lange Ketten bleiben unter MTR erhalten: Abbildungen 2.11 und 2.12 allgemein: (nach dem 3. Teilbild) (Gerte mit Knick) ... Endergebnis  $\square$

**Abhilfe (Sleator, Tarjan '85):**

Rotiere erst am Großvater, dann am Vater: Abbildungen 2.13, 2.14 und 2.15  $\rightsquigarrow$  Splay Trees (Splay = ausgebreitet, gespreizt).

MTR\*: falls Vater( $x$ ) existiert

falls Großvater( $x$ ) existiert

falls Großvater( $x$ ), Vater( $x$ ),  $x$  auf Rechts- oder Linkspfad:

rotiere Großvater( $x$ ), Vater( $x$ )

sonst rotiere Vater( $x$ ), [Groß-]Vater( $x$ )

sonst rotiere Vater( $x$ ).

**Literatur:** Ottmann/Widmayer: Algorithmen und Datenstrukturen.

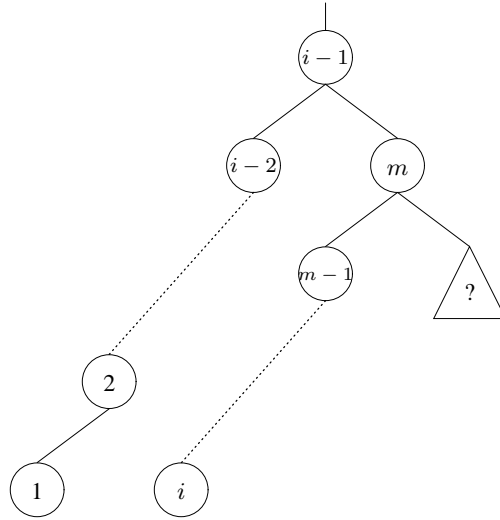


Abbildung 2.10: Baum nach Teildurchlauf

**3 Fälle:**

Zig-Zig: Abbildung 2.16

Zig-Zag: Abbildung 2.17

Zig: Abbildung 2.18

**Achtung:** Auch die Zig-Zig-Fälle können die Höhe reduzieren.**Analyse**

Jedes gespeicherte Element  $i$  habe Gewicht  $w(i) > 0$ . (Die  $w(i)$  können später nach Bedarf festgelegt werden).

**Definition 2.2.1:**  $x$  Knoten von  $T$ :

$$s(x) := \sum_{i \text{ in Teilbaum } T_x} w(i) \text{ (siehe Abbildung 2.19)}$$

$$r(x) := \log_2 s(x)$$

$$\phi(T) := \sum_{x \text{ in } T} r(x)$$

$\text{Splay}(x, T) :=$  echte Kosten des Aufrufs  $\text{MTF} * (x)$  in  $T$

$A(x, T) := \text{Splay}(x, T) + \phi(\tilde{T}) - \phi(T)$ , amortisierte Kosten vom Zugriff auf  $x$ ;

$\tilde{T} =$  der aus  $T$  durch  $\text{MTF} * (x)$  entstehende Baum.

Brauchen ein technisches

**Lemma 2.2.2:** Seien  $T, T'$  zwei beliebige (Splay-Trees) über  $\{1, \dots, n\}$ , und sei  $W := \sum_{i=1}^n w(i)$ . Dann gilt:

$$|\phi(T) - \phi(T')| \leq \sum_{i=1}^n \log \frac{w}{w(i)}$$

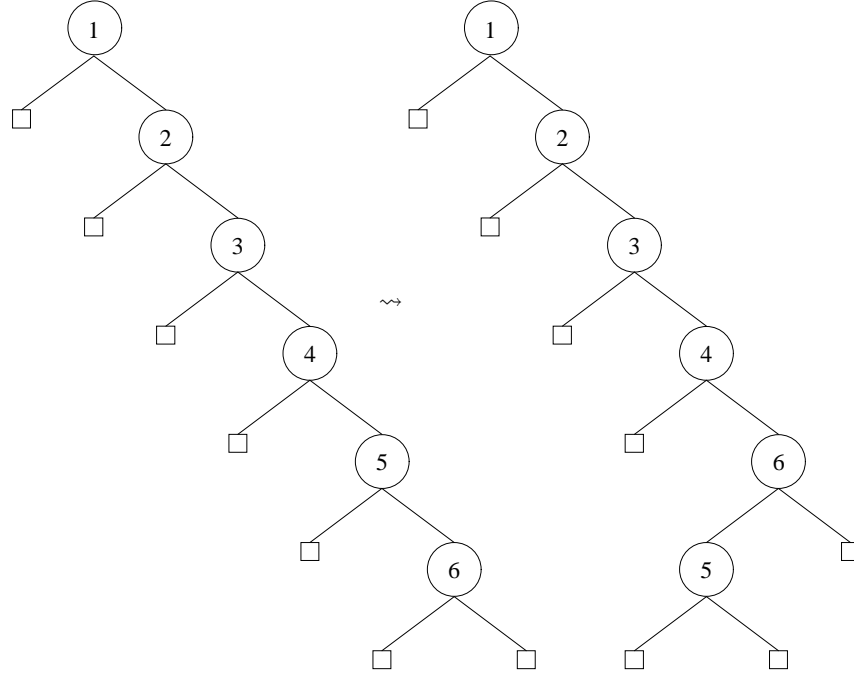


Abbildung 2.11: Lange Ketten unter MTR (a)

**Beweis (Lemma 2.2.2):** Seien  $x_i$  und  $x'_i$  die Knoten von  $T$  und  $T'$ , die das Element  $i$  enthalten. Klar:

$$\begin{aligned}
 w(i) &\leq s(x_i) \quad s(x'_i) \leq w \quad (\text{sehr grob!}) \\
 \Rightarrow \quad \log w(i) &\leq r(x_i) \quad r(x'_i) \leq \log w \\
 \Rightarrow \quad \phi(T) - \phi(T') &= \sum_{i=1}^n (r(x_i) - r(x'_i)) \\
 &\leq \sum_{i=1}^n (\log w - \log(w(i))) \\
 &= \sum_{i=1}^n \log \frac{w}{w(i)}
 \end{aligned}$$

und symmetrisch □

**Lemma 2.2.3 (ACCESS-Lemma):**  $A(x, T) = \phi(T') - \phi(T)$  sind die Kosten von einer elementaren Operation (zig-zig, zig-zag, zig) bei ACC

$$A(x, T) \leq \begin{cases} 3(r'(x) - r(x)) & \text{falls zig-zig, zig-zag} \\ 3(r'(x) - r(x)) + 1 & \text{falls zig} \end{cases}$$

mit  $r'$  Rand-Funktion des Baumes  $T'$ , der aus einem Zugriff entsteht.

**Beweis (Lemma 2.2.3):** Fallunterscheidung:

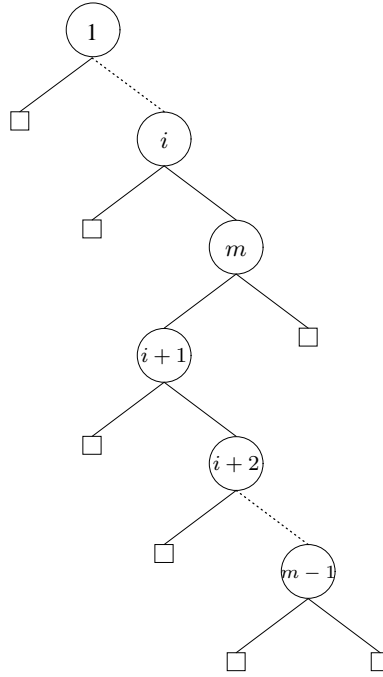


Abbildung 2.12: Lange Ketten unter MTR (b)

1. es finden (bei  $\text{ACCESS}(x)$ ) keine Umbauten statt  $\Rightarrow x = t = \text{Wurzel von } T \Rightarrow$

$$\begin{aligned}
 A(x, T) &\stackrel{!}{\leq} \underbrace{3(r(t) - r(x))}_{=0} + 1 \\
 &= \underbrace{\text{Splay}(x, T)}_{=1, \text{ da } x \text{ Wurzel}} + \underbrace{\phi(\tilde{T}) + \phi(T)}_{=0, \text{ da } \tilde{T} = T}
 \end{aligned}$$

✓

2. Es finden Umbauten statt. Zu zeigen: Sei  $\sigma \in \{\text{zig}, \text{zig} - \text{zig}, \text{zig} - \text{zag}\}$ ,  $T$  der Baum vor und  $T'$  der Baum nach der Ausführung von  $\sigma$ . Seien  $r$  und  $r'$  die Rangfunktionen von  $T$  und  $T'$ .

Dann gilt:

$$\sigma = \text{zig} \quad 1 + \phi(T') - \phi(T) \leq 3(r'(x) - r(x)) + 1$$

$$\sigma \in \{\text{zig} - \text{zig}, \text{zig} - \text{zag}\} \quad 2 + \phi(T') - \phi(T) \leq 3(r'(x) - r(x)) + 0$$

Daraus folgt Lemma 2.2.3, denn

- zig kommt höchstens  $1 \times$  vor (bei  $\text{ACCESS}(x)$ ), wenn nämlich Suchpfad ungerade Länge hat.
- Im letzten Baum,  $\tilde{T}$  gilt (mit  $r/r'$  Rangfunktion von  $T/\tilde{T}$ ):  $r'(x) = r(t)$ , denn beide Elemente  $x, t$  sind Wurzeln von Bäumen mit identischen Einträgen.

**Fall 1**  $\sigma = \text{zig}$

Zu zeigen:  $1 + \phi(T') - \phi(T) \leq 3(r'(x) - r(x)) + 1$ . Siehe Abbildung 2.18. Nur  $x, y = V(x)$  haben ihre  $r$ -Werte geändert:

$$\begin{aligned}
 1 + \phi(T') - \phi(T) &= 1 + r'(x) + r'(y) - r(x) - r(y) \\
 &= \underbrace{r'(y) - r(y)}_{\leq 0} + \underbrace{r'(x) - r(x)}_{\geq 0} + 1 \leq 3(r'(x) - r(x)) + 1
 \end{aligned}$$

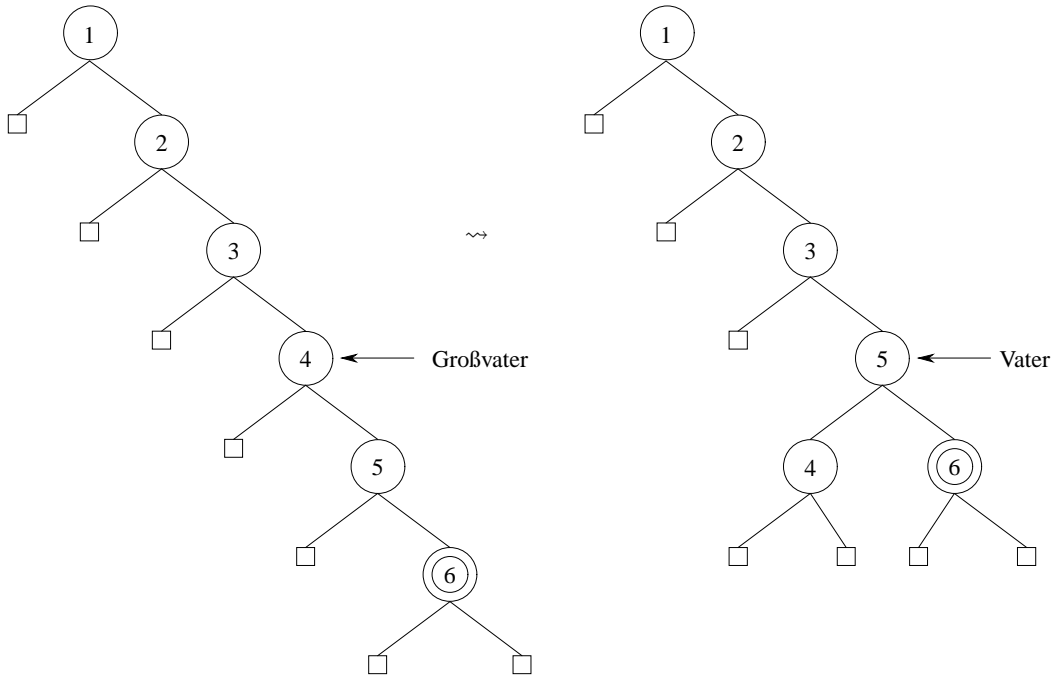


Abbildung 2.13: Veränderte Rotation (a)

**Fall 2**

$\sigma = \text{zig} - \text{zig}$  Abbildung 2.16 veranschaulicht die Rotationen. Klar: Nur  $x, y, z$  können ihre Ränge ändern. Es gilt:

$$\begin{aligned}
 2 + \phi(T') - \phi(T) &= 2 + \underbrace{r'(x) - r(z)}_{=0} + \underbrace{r'(y)}_{\leq r'(x)} + r'(z) - r(x) - \underbrace{r(y)}_{-r(x)} \\
 &\leq 2 + r'(x) + r'(z) - 2r(x) \\
 &\stackrel{!}{\leq} 3(r'(x) - r(x))
 \end{aligned}$$

d.h. zu zeigen:

$$\begin{aligned}
 \underbrace{r(x) + r'(z) - 2r'(x)}_{=\log s(x) + \log s'(z) - 2\log s'(x)} &\stackrel{!}{\leq} -2 \\
 &= \log \underbrace{\frac{s(x)}{s'(x)}}_{\in (0,1)} + \log \underbrace{\frac{s'(z)}{s'(x)}}_{\in (0,1)}
 \end{aligned}$$

Es gilt

- $s(x) < s'(x), s'(z) < s'(x)$
- $s(x) + s'(z) < s'(x)$

$$\Rightarrow \frac{s(x)}{s'(x)} + \frac{s'(z)}{s'(x)} < 1$$

Zum Glück gilt: Die Funktion  $f(v, w) := \log v + \log w$  hat für  $0 < v, w < 1, v + w \leq 1$  ihr Maximum  $-2$  (an der Stelle  $(v, w) = (\frac{1}{2}, \frac{1}{2})$ ). Denn  $\log(vw) = \log v + \log w \leq -2 \Leftrightarrow vw \leq \frac{1}{4}$ .  $vw$  wird maximal für  $v + w = 1$ .  $\sqrt{\quad}$



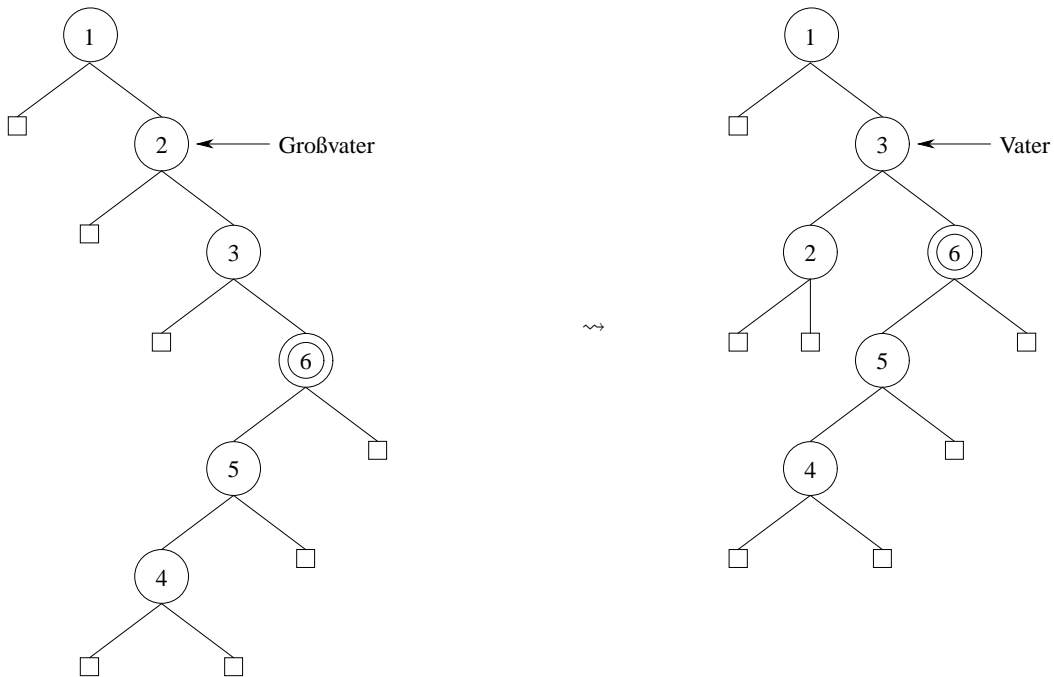


Abbildung 2.14: Veränderte Rotation (b)

$\sigma = \text{zig} - \text{zag}$  Abbildung 2.17 veranschaulicht die Rotationen. Klar: Nur  $x, y, z$  können Rang ändern.

$$\begin{aligned}
 2 + \phi(T') - \phi(T) &= 2 + \underbrace{r'(x) - r(z)}_{=0} + r'(y) + r'(z) - r(x) - \underbrace{r(y)}_{\leq -r(x)} \\
 &\leq 2 + r'(y) - r'(z) - 2r(x) \\
 &\stackrel{!}{\leq} 2 \underbrace{(r'(x) - r(x))}_{\geq 0} \quad \text{mehr als nötig!}
 \end{aligned}$$

Zu zeigen:

$$2 \stackrel{!}{\leq} 2r'(x) - r'(y) - r'(z)$$

Nun gilt:  $s'(x) \geq s'(y) + s'(z)$ , also (mit Eigenschaften des arithmetischen und geometrischen Mittel):

$$\begin{aligned}
 \frac{s'(x)}{2} &\geq \frac{s'(y) + s'(z)}{2} \geq \sqrt{s'(y)s'(z)} \\
 \Rightarrow \frac{s'(x)^2}{4} &\geq s'(y)s'(z) \\
 \Rightarrow \frac{s'(x)^2}{s'(y)s'(z)} &\geq 4 \\
 \Rightarrow \underbrace{\log \frac{s'(x)}{s'(y)} + \log \frac{s'(x)}{s'(z)}}_{2r'(x) - r'(y) - r'(z)} &= \log \frac{s'(x)^2}{s'(y)s'(z)} \geq \log 4 = 2
 \end{aligned}$$

□

**Theorem 2.2.4 (Balance Theorem):** Sei  $T$  ein Splay-Tree mit  $n$  Elementen. Dann verursacht eine Folge

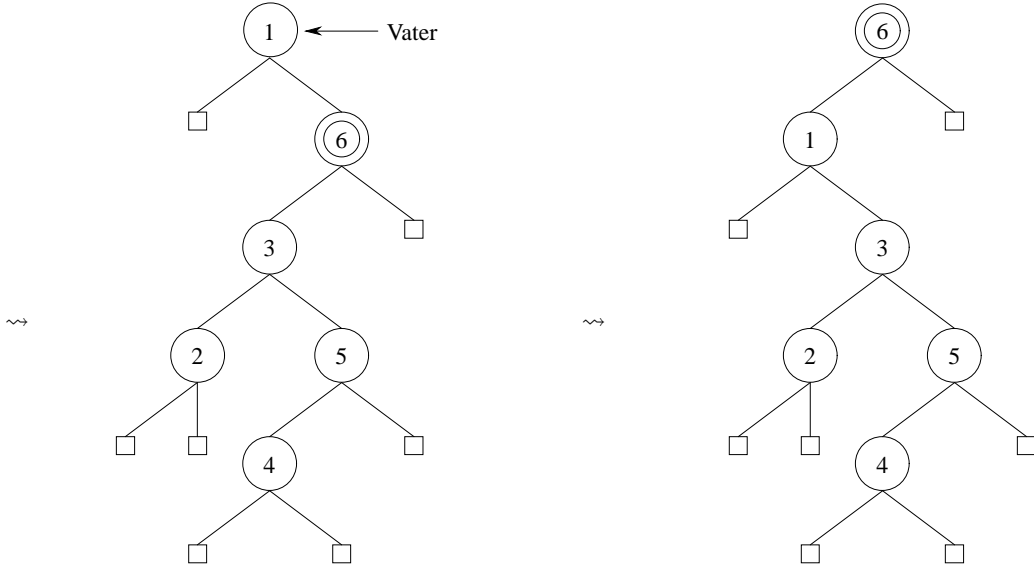


Abbildung 2.15: Veränderte Rotation (c)

von  $m$  ACCESS-Operationen Kosten in

$$O((m + n) \log n + m)$$

**Beweis (Theorem 2.2.4):** Wähle alle Gewichte  $w(i) = \frac{1}{n}$

$$\Rightarrow W = \sum_i w(i) = 1$$

Amortisierte Kosten pro ACCESS-Operation im aktuellen Baum  $T$  (mit Lemma 2.2.3):

$$\begin{aligned} A(x, T) &\leq 3 \left( \underbrace{r(t)}_{\log W=0} - \underbrace{r(x)}_{\geq \log(\text{Gewicht von } x) = \log \frac{1}{n}} \right) + 1 \\ &\leq 3 \log n + 1 \\ \Rightarrow \text{echte Gesamtkosten} &= \underbrace{\sum_x A(x, T)}_{3m \log n + m} + \underbrace{\phi(T) - \phi(T')}_{\leq \sum_{i=1}^n \log \frac{W}{w(i)} = n \log n} \end{aligned}$$

□

**Was besagt Theorem 2.2.4?:** Für lange Zugriffsfolgen, d.h. für große  $m$ , sind Splay-Trees fast so gut wie balancierte Bäume ( $O(m \log n)$ ). Was soll's? → Siehe Theorem 2.2.5.

**Theorem 2.2.5 (Statische Optimalitätstheorem):** In einer Folge von  $m$  Zugriffen auf Elemente der Menge  $\{1, 2, \dots, n\}$ . Sei  $q(i) \stackrel{?}{\geq} 1$  die Anzahl der Zugriffe auf Element  $i$ . Dann sind die Gesamtkosten aller Zugriffe in

$$O \left( m + \sum_{i=1}^n q(i) \log \frac{m}{q(i)} \right)$$

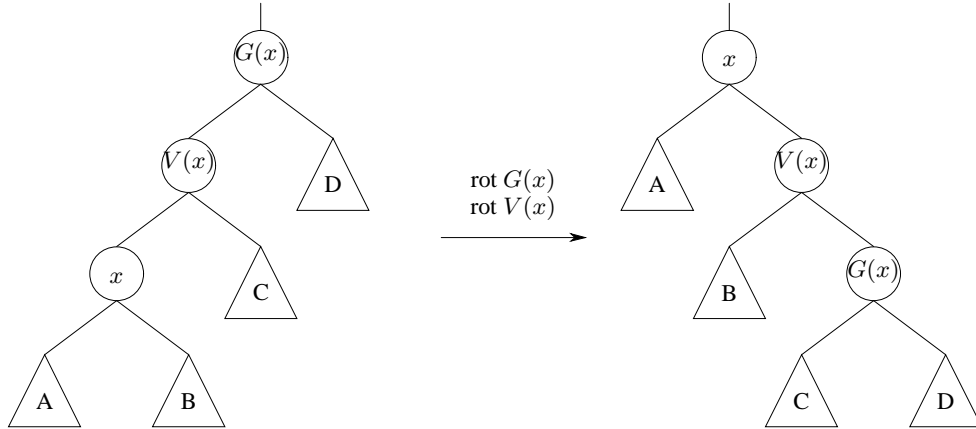


Abbildung 2.16: Zig-Zig

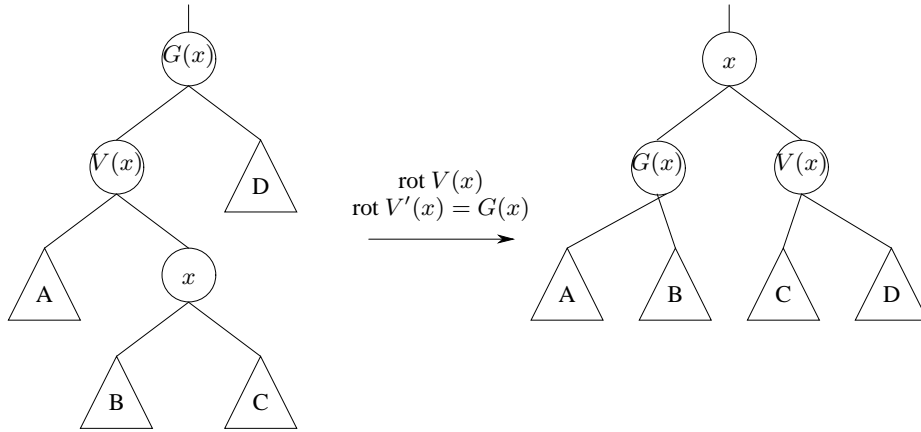


Abbildung 2.17: Zig-Zag

**Beweis (Theorem 2.2.5):** Diesmal setzen wir  $w(i) := \frac{q(i)}{m} \Rightarrow W = \sum_i w(i) = 1$ . Die amortisierten Kosten pro Zugriff auf Element  $i$  (mit Lemma 2.2.3):

$$\leq 3(\underbrace{r(t)}_{=0} - \underbrace{r(x_i)}_{\geq \log \frac{q(i)}{m}}) + 1 \geq 3 \log \frac{m}{q(i)} + 1$$

mit Lemma 2.2.2 folgt

$$\begin{aligned} \text{echte Gesamtkosten} &\leq \sum_{i=1}^n q(i) \left( 3 \log \frac{m}{q(i)} + 1 \right) + \underbrace{\phi(T) - \phi(T')}_{\substack{\leq \sum_{i=1}^n \log \frac{W}{w(i)} = n \log \frac{m}{q(i)} \\ = \frac{m}{q(i)}}} \\ &\leq c \sum_{i=1}^n q(i) \log \frac{m}{q(i)} + \sum_{i=1}^n 1 + \sum_{i=1}^n q(i) \end{aligned}$$

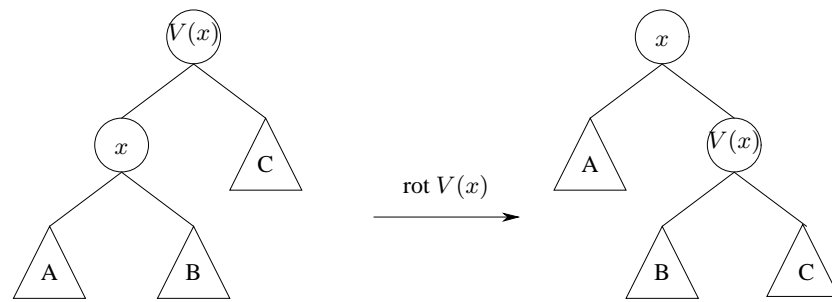
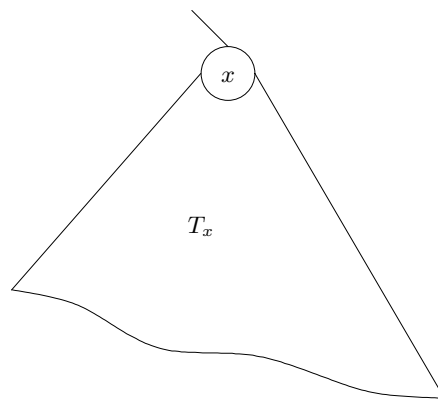


Abbildung 2.18: Zig

Abbildung 2.19:  $s(x)$ 

□